

01;07

Трансформация гауссова импульса при отражении от нелинейной среды

© Ю.Ф. Наседкина, С.А. Володин, Д.И. Семенцов

Ульяновский государственный университет,
432700 Ульяновск, Россия
e-mail: asper3005@yandex.ru, sementsovdi@mail.ru

(Поступило в Редакцию 18 января 2011 г.)

Исследованы особенности трансформации огибающей падающего гауссова импульса при его отражении от нелинейной диспергирующей среды. Показано, что вблизи оптического резонанса в процессе отражения происходит существенная перестройка огибающей импульса и нелинейность среды может привести к заметной деформации отраженного импульса. Вдали от резонансной частоты могут быть реализованы условия, когда сдвиг отраженного импульса не приводит к потере гауссовой формы. При этом влияние нелинейности незначительно.

Введение

Анализ трансформации формы огибающей оптических импульсов при взаимодействии их с отражающей поверхностью на протяжении длительного времени привлекает внимание исследователей [1–4]. Применительно к подобным задачам широкое распространение получили методы компьютерного эксперимента, позволяющие оценить характер и степень деформации отраженного импульса. Наличие дисперсии существенно усложняет процессы распространения и отражения импульсов вследствие различия в поведении его отдельных спектральных компонент. Основными составляющими трансформации формы импульса являются асимметричное увеличение или уменьшение его фронта, раздвоение, а также сдвиг „центра тяжести“ импульса вдоль оси времени [5]. Представляет интерес исследование особенностей трансформации формы импульса при отражении от диспергирующей среды, анализ влияния длительности импульса и близости его несущей частоты к резонансной частоте отражающей среды. На профиль отраженного импульса существенно могут влиять также нелинейные эффекты, которые наиболее существенно проявляются при больших интенсивностях падающего импульса и при углах падения, близких к углу полного внутреннего отражения (ПВО) [6]. В этой связи в настоящей работе решается задача об отражении гауссова импульса от нелинейной диспергирующей среды. Интерес представляет как максимальная деформация профилей импульсов, так и ситуация, когда импульс отражается без существенных перестроек.

1. Отражение монохроматических компонент

Пусть световой импульс сформирован плоскими волнами s -поляризации и падает на плоскую границу раздела двух изотропных сред под углом θ_0 . Направим ось z вдоль нормали к границе раздела сред, плоскостью паде-

ния будем считать плоскость xz . Среда, из которой падает импульс, является оптически прозрачным диэлектриком с действительной диэлектрической проницаемостью (ДП) ε_1 , которую считаем постоянной в рассматриваемом диапазоне длин волн. Отражающая среда является резонансной и нелинейной, а ее дисперсионные свойства определяются частотной зависимостью линейной части ДП, т. е.

$$\varepsilon_2(\omega, E) = \varepsilon_2(\omega) + b|E|^2, \quad (1)$$

$$\varepsilon_2(\omega) = \varepsilon_\infty + \frac{(\varepsilon_0 - \varepsilon_\infty)\omega_r^2}{\omega_r^2 - \omega^2 - i\omega g}. \quad (2)$$

Здесь ω_r — резонансная частота, g — ширина резонансной линии, ε_0 и ε_∞ — статическая и высокочастотная проницаемости среды. Подобную частотную зависимость ДП имеют многие оптические материалы в области линии поглощения или усиления. Параметр керровской нелинейности в силу своей малости (в дальнейшем будем использовать значение $b = 10^{-4} \text{ cm}^3/\text{J}$) считаем не зависящим от частоты.

Введем векторы рефракции монохроматических компонент падающего и отраженного импульсов, которые задают направления их волновых векторов и модули которых равны показателю преломления среды

$$\mathbf{m}_{i,r} = \sqrt{\varepsilon_1} \sin \theta_0 \mathbf{e}_x \pm \sqrt{\varepsilon_1} \cos \theta_0 \mathbf{e}_z, \quad (3)$$

где \mathbf{e}_x и \mathbf{e}_z — единичные векторы координатных осей, лежащих в плоскости падения. Амплитудный коэффициент отражения, согласно [7], имеет вид

$$r_s = \frac{\sqrt{\varepsilon_1} \cos \theta_0 - \sqrt{\varepsilon_2(\omega) - \varepsilon_1 \sin^2 \theta_0}}{\sqrt{\varepsilon_1} \cos \theta_0 + \sqrt{\varepsilon_2(\omega) - \varepsilon_1 \sin^2 \theta_0}}. \quad (4)$$

2. Поле отраженного импульса и временной сдвиг

Электрическое поле падающего импульса s -поляризации может быть представлено в виде следующего

интеграла Фурье:

$$E_i(\mathbf{r}, t) = \mathbf{s} \int_0^{\infty} F_E(\omega) \exp[i(\omega t - k_0 \mathbf{m}_i \mathbf{r})] d\omega, \quad (5)$$

где единичный вектор поляризации \mathbf{s} перпендикулярен к плоскости падения, $k_0 = \omega/c$, c — скорость света в вакууме. Спектр падающего импульса

$$F_E(\omega) = \frac{1}{2\pi} \int_{-\infty}^{\infty} E(0, t) \exp(-i\omega t) dt, \quad (6)$$

функция $E(0, t)$ определяет форму временной огибающей падающего светового импульса на границе раздела сред ($z = 0$). Для гауссова импульса

$$E(0, t) = E_0 \exp(-t^2/\tau_0^2), \quad (7)$$

где E_0 — пиковое значение светового поля в импульсе, τ_0 — его длительность. Спектр такого импульса определяется выражением

$$F_E(\omega) = \frac{E_0 \tau_0}{2\sqrt{\pi}} \exp\left[-\frac{(\omega - \omega_0)^2 \tau_0^2}{4}\right], \quad (8)$$

где ω_0 — несущая частота падающего импульса. Выражение для поля отраженного импульса может быть представлено следующим образом:

$$\mathbf{E}_r(\mathbf{r}, t) = \mathbf{s} \int_0^{\infty} F_E(\omega) r(\omega, E) \exp[i(\omega t - k \mathbf{m}_j \mathbf{r})] d\omega, \quad (9)$$

где $r(\omega, E)$ — амплитудный коэффициент отражения. Амплитудный коэффициент отражения в общем случае является комплексной величиной. Для дальнейшего анализа удобно выделить его модуль и фазу

$$r = |r| \exp(i\varphi_r), \quad (10)$$

$$|r| = [(\operatorname{Re} r)^2 + (\operatorname{Im} r)^2]^{1/2}, \quad \varphi_r = \arctg(\operatorname{Im} r / \operatorname{Re} r).$$

В области плавного изменения модуля и фазы коэффициента отражения разложим фазу в ряд по малой отстройке от несущей частоты

$$\varphi_r(\omega) = \varphi_r(\omega_0) + \varphi_r' \Big|_0 (\omega - \omega_0) + \frac{1}{2} \varphi_r'' \Big|_0 (\omega - \omega_0)^2 + \dots, \quad (11)$$

где штрих означает производную по частоте, значение которой берется на несущей частоте. Подставим первые два члена этого разложения в выражение (9) и будем считать малым изменение модуля коэффициента отражения в области частотной отстройки, определяемой спектральной шириной импульса. В этом случае электрическое поле в отраженном импульсе запишем в виде

$$E_r(t, z) \cong r(\omega_0) \exp(-i\omega_0 \varphi_r' \Big|_0) \times \int_0^{\infty} F_E(\omega) \exp[i(\omega(t + \varphi_r' \Big|_0) - k_{z1} z)] d\omega. \quad (12)$$

Из полученного выражения следует, что при отражении происходит сдвиг по оси времени (задержка или опережение) спектральных компонент импульса на временной интервал $\Delta_r = \partial \varphi_r / \partial \omega \Big|_0$. Такая задержка является аналогом пространственного сдвига светового пучка [8]. Сдвиг монохроматических компонент приводит к временному сдвигу огибающей импульса в целом. Поскольку сдвиг разных спектральных компонент импульса различен, в общем случае импульс при отражении претерпевает достаточно сложную деформацию. Следует ожидать, что эта деформация наиболее существенна вблизи резонансных частот среды.

3. Численный анализ

Рассмотрим вначале отражение импульса от недиспергирующей среды. В этом случае поведение ее диэлектрической проницаемости, согласно (1), не зависит от частоты и полностью определяется полем падающего импульса. Временная зависимость поля в импульсе $E(t)$ определяется распределением поля в падающем импульсе (7). Примем, что длительность падающего гауссова импульса $\tau_0 = 10T_r$, где период $T_r = 2\pi/\omega_r$ соответствует резонансной частоте, при этом ширина спектра падающего импульса $\Delta\omega \leq 0.1\omega_r$. Временное распределение относительной интенсивности отраженных импульсов

$$\frac{I(t)}{I_0} = \frac{|E(t)|^2}{|E_0|^2},$$

представленное на рис. 1 для параметров $\varepsilon_1 = 5.54$ (хлорбензол) и $\varepsilon_2 = 2.13$ (кварцевое стекло), отвечает углу полного внутреннего отражения (ПВО) $\theta_0 = \arcsin(\sqrt{\varepsilon_2(E)}/\varepsilon_1) \approx 38^\circ$ [9].

Влияние нелинейности на параметры отраженного импульса проявляется лишь при достаточно высоких интенсивностях светового поля. Поэтому кривые 1 и 2 на рис. 1, а отвечают двум пиковым значениям плотности энергии в импульсе $|E_0|^2 = 20$ и 70 J/cm^3 . Наблюдаемое резкое уменьшение интенсивности отраженных импульсов связано с нарушением условий ПВО при незначительном увеличении величины ε_2 с ростом амплитуды поля.

Приведенные зависимости получены при отсутствии инерции среды. Если отражающая среда реагирует на поле падающего импульса с запаздыванием по времени на величину τ' , то выражение для поля отраженного импульса может быть представлено следующим образом [10]:

$$\begin{aligned} \mathbf{E}_r(\mathbf{r}, t, \tau') \\ = \mathbf{s} \int_0^{\infty} F_E(\omega) r(\omega, E_i(\mathbf{r}, t - \tau')) \exp[i(\omega t - k \mathbf{m}_j \mathbf{r})] d\omega. \end{aligned} \quad (13)$$

Здесь $\mathbf{E}_i(\mathbf{r}, t - \tau')$ — поле падающего импульса в момент времени $t - \tau'$, а $r(\omega, E_i(\mathbf{r}, t - \tau'))$ — амплитуд-

ный коэффициент отражения, отвечающий этому полю. При учете инерции среды деформация профилей импульсов имеет более сложный характер. На рис. 1, *b* построены временные огибающие отраженного импульса для временной задержки $\tau' = 0$ или $2T_r$ (кривые 1 или 2) и $|E_0|^2 = 20 \text{ J/cm}^3$. Штрихом приведено распределение поля в падающем импульсе.

Учтем теперь дисперсию отражающей среды. Ее параметры, выбранные для проведения численного эксперимента, соответствуют полупроводнику AlAs: $\epsilon_0 = 11$, $\epsilon_\infty = 9$; энергия активации примеси составляет 0.01 eV , что отвечает резонансной частоте $\omega_r \approx 1.67 \cdot 10^{13} \text{ c}^{-1}$, относительная ширина линии $g/\omega_r = 0.01$; $\epsilon_1 = 5.54$. На рис. 2 представлена частотная зависимость энергетического коэффициента отражения $R = |r|^2$ и временного

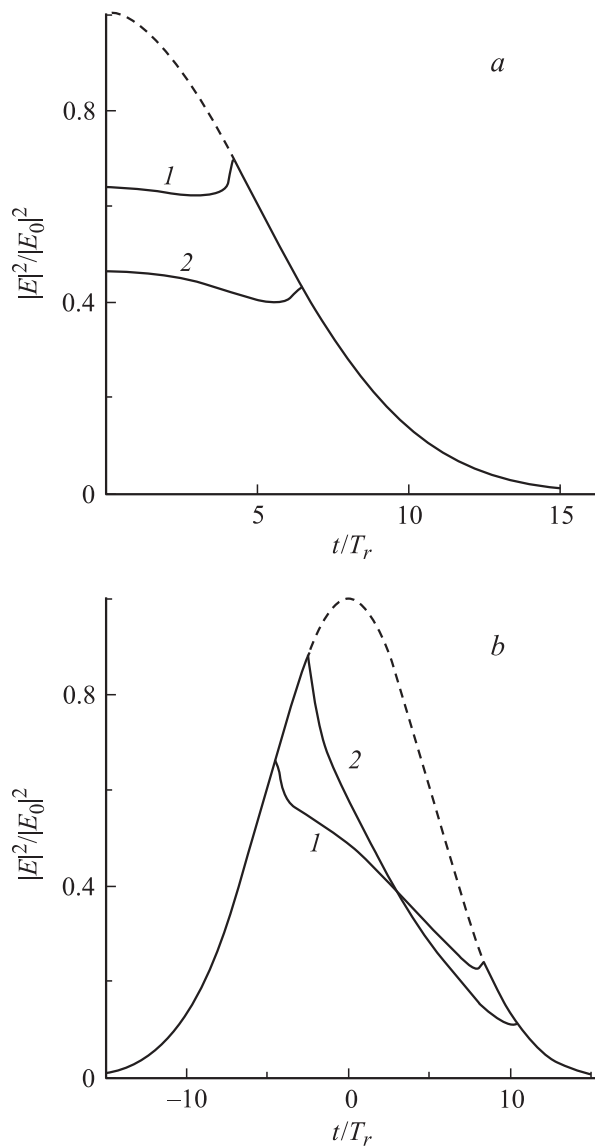


Рис. 1. Распределение относительной интенсивности отраженных импульсов $I(t)/I_0 = |E(t)|^2/|E_0|^2$ на угле падения $\theta^0 = 38^\circ$; $\epsilon_1 = 5.54$, $\epsilon_2 = 2.13$. Длительность импульса $\tau_0 = 10T_r$.

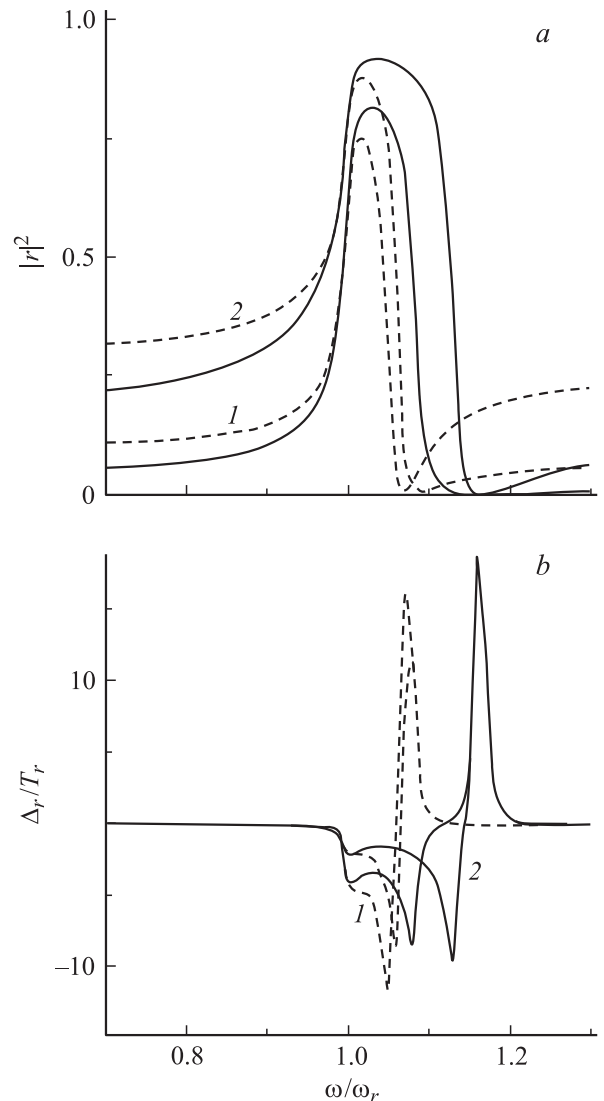


Рис. 2. Частотные зависимости величин: *a* — $R = |r|^2$ и *b* — ΔT_r ; $\theta_0 = 0$ и 60° (кривые 1, 2). $\epsilon_1 = 5.54$, $\epsilon_0 = 11$, $\epsilon_\infty = 9$; $\omega_r \approx 1.67 \cdot 10^{13} \text{ s}^{-1}$, $g/\omega_r = 0.01$. $|E_0|^2$, J/cm^2 : сплошные линии — 20, штриховые — 70.

сдвига монохроматических волн ΔT_r на углах падения $\theta_0 = 0$ и 60° (кривые 1 и 2) с учетом нелинейности отражающей среды. Влияние нелинейности на рассматриваемые характеристики проявляется лишь при достаточно высоких интенсивностях светового поля волны $|E_0|^2 = 20, 100 \text{ J/cm}^3$ (соответственно сплошные и пунктирные линии). Видно, что вблизи резонанса нелинейная добавка вызывает существенное изменение зависимости $R(\omega)$, в частности, заметное смещение минимума R в сторону больших частот.

Вдали от резонансной частоты (при $\omega \ll \omega_r$, как и при $\omega \gg \omega_r$) коэффициент отражения практически постояен, поэтому в этих областях частот различные спектральные компоненты импульса должны отражаться практически одинаково, и импульс не претерпевает существенных деформаций. Вблизи резонансной частоты

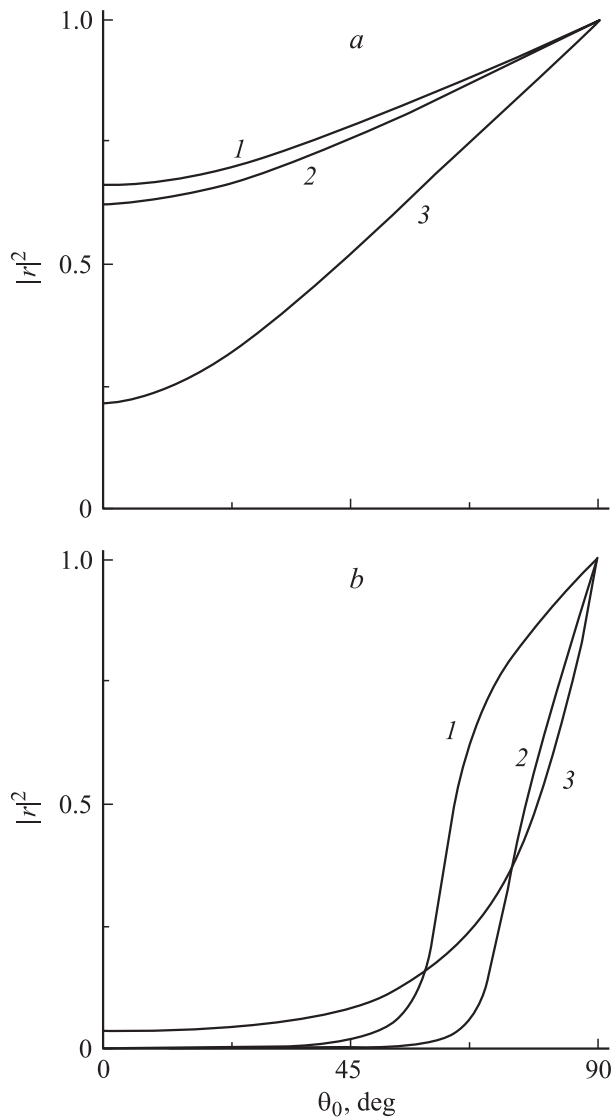


Рис. 3. Угловые зависимости величины $R = |r|^2$, $|E|^2 = 30 \text{ J/cm}^2$ для частот $\omega = (1.05, 1.1, 1.15)\omega_r$ (a — кривые 1–3), для частоты $\omega = 1.15\omega_r$, $|E|^2 = 10, 20, 100 \text{ J/cm}^2$, b — кривые 1–3.

ты происходит быстрое изменение действительной и мнимой частей диэлектрической проницаемости среды $\varepsilon_2(\omega)$, что обуславливает резкое изменение величины R и значительное временное смещение монохроматических компонент Δ_r в положительную или отрицательную сторону. Раздвоение профиля отраженного импульса, связанное с малой интенсивностью центральных компонент (определяющих световое поле, главным образом, в центре импульса) и сравнительно высокой интенсивностью компонент с отстройкой по частоте, может присутствовать в минимуме коэффициента отражения, четко выраженном на частоте $\omega = 1.15\omega_r$. Малой окрестности этой частоты отвечают максимальные изменения величин R и Δ_r , в связи с чем импульс, несущая частота которого принадлежит этому интервалу, деформируется

более всего. При этом характер деформации определяется, главным образом, его шириной спектра $\Delta\omega \approx \pi/\tau_0$.

На рис. 3, a приведены угловые зависимости коэффициента отражения монохроматической волны, полученные при плотности энергии волны $|E|^2 = 30 \text{ J/cm}^2$ для частот $\omega = (1.05, 1.1, 1.15)\omega_r$ (кривые 1–3 соответственно). Полное отражение вблизи резонансной частоты не наблюдается в связи со значительным поглощением в этом диапазоне. Нелинейное возрастание величины R с ростом интенсивности, связанное с изменением действительной части диэлектрической проницаемости, можно проследить по рис. 3, b , где показаны аналогичные зависимости для частоты $\omega = 1.15\omega_r$, отвечающей резкому спаду величины R , и плотности энергии $|E|^2 = 10, 20, 100 \text{ J/cm}^2$ (кривые 1–3). На выбранной частоте действительная часть ДП среды близка к нулю, поэтому малое ее изменение (связанное с нелинейной добавкой) может определять значительное изменение коэффициента отражения.

На рис. 4 представлены огибающие отраженного импульса $|E_0|^2 = 20, 100 \text{ J/cm}^2$ (штриховые и сплошные линии), $\omega = 1.15\omega_0$; угол падения 0 и 60° (кривые 1, 2). Профили импульсов с энергией 20 J/cm^2 , отвечающие штриховым кривым, мало отличаются от аналогичных распределений для линейной среды. Поскольку минимум коэффициента отражения достаточно глубокий, происходит раздвоение профиля отраженного импульса, связанное с малой интенсивностью центральных компонент, близких к несущей частоте. Кроме того, вблизи минимума коэффициента отражения часть спектральных компонент сдвигается в положительную, а часть — в отрицательную сторону по оси времени (см. рис. 1, b), что может вызывать дополнительное уширение профиля.

Механизм деформации профилей отраженных импульсов (асимметрия, раздвоенность, ширина) аналогичен механизму деформации p -поляризованных световых пучков вблизи угла Брюстера. Профиль пучка, отраженно-

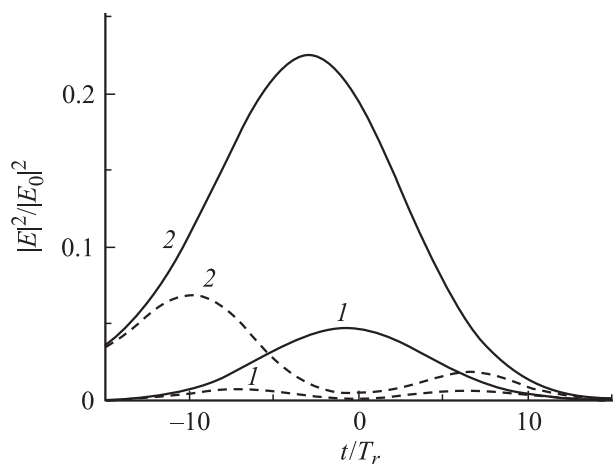


Рис. 4. Профили отраженных импульсов $|E_0|^2 = 20, 100 \text{ J/cm}^2$ (штриховые и сплошные линии), $\omega_0 = 1.15\omega_r$; углы падения 0 и 60° (кривые 1, 2).

го от прозрачного диэлектрика под углом Брюстера, является раздвоенным со сдвигом „центра тяжести“ по отношению к падающему импульсу и близким к симметричному. Чем шире угловой пространственный спектр падающего пучка, тем больше асимметрия отраженного пучка. Величина сдвига его „центра тяжести“ в зависимости от параметров падающего пучка может быть как положительной, так и отрицательной.

Поскольку интенсивность центральных компонент импульса близка к нулю, то значительного вклада в смещение импульса в целом они не вносят. Основной вклад в смещение отраженного сигнала вносят компоненты, имеющие отстройку по частоте от ω_0 . При этом возникают два фронта отраженного излучения, создаваемых компонентами с положительными и отрицательными отстройками от центральной частоты, сдвигающихся соответственно в положительную и в отрицательную сторону по оси времени. Все это и приводит к раздвоению профиля отраженного импульса. Величина смещения „центра тяжести“ отраженного импульса вблизи минимума коэффициента отражения может быть как положительной, так и отрицательной и существенно зависит от ширины спектра падающего импульса.

Профили импульсов с энергией $|E_0|^2 = 100 \text{ J/cm}^2$ (сплошные линии) сохраняют гауссову форму. Влияние нелинейной добавки здесь сводится к сдвигу минимума коэффициента отражения к более низким частотам и увеличению величины $|R|$ (см. рис. 1, а). Поэтому импульс с не слишком широким спектром отражается и сдвигается как единое целое.

Аналогичным будет отражение импульсов и на других частотах, отвечающих не очень значительному изменению модуля и фазы R в пределах спектральной ширины импульса. Длительность отраженного импульса в этом случае примерно равна величине τ_0 , а интенсивность меньше интенсивности падающего в $|R|$ раз. Положительный сдвиг максимума огибающей вдоль оси времени близок к величине $\Delta_r(\omega_0)$, рассчитанного для несущей частоты. Кроме изменения интенсивности и временного сдвига, других деформаций отраженного импульса не происходит.

Заключение

В отсутствие поглощения с ростом пиковой интенсивности падающего импульса вблизи критических углов происходит нарушение ПВО, поэтому нелинейная среда может служить фильтром импульсов высокой интенсивности. При учете дисперсии отражающей среды вблизи оптического резонанса в процессе отражения происходит перестройка светового поля импульса, связанная с различными временными и фазовыми сдвигами каждой монохроматической компоненты. В этом случае нелинейная „добавка“ диэлектрической проницаемости может привести к заметному сдвигу минимума коэффи-

циента отражения и частотной области, где отраженные импульсы деформируются сильнее всего.

При не слишком быстром изменении диэлектрической проницаемости в пределах ширины спектра импульса, например, вдали от резонансной частоты могут быть реализованы условия, когда отраженный импульс не теряет гауссовой формы и сдвигается вдоль временной оси без каких-либо внутренних перестроек его светового поля. В этом случае влияние нелинейности незначительно. Однако при многократном отражении, например, при распространении в плоском волноводе даже слабые деформации профиля могут накапливаться и играть существенную роль, что накладывает дополнительные ограничения на выбор несущей частоты и длительности импульса.

Список литературы

- [1] Вайнштейн Л.А. // УФН. 1976. Т. 118. Вып. 2. С. 339–367.
- [2] Горбунов Е.В. // ЖТФ. 1997. Т. 67. Вып. 5. С. 132–133.
- [3] Бакунов М.И., Гурбатов Н.С. // ЖТФ. 1997. Т. 67. Вып. 6. С. 65–68.
- [4] Золотовский И.О., Семенцов Д.И. // ЖТФ. 2000. Т. 70. Вып. 10.
- [5] Наседкина Ю.Ф., Семенцов Д.И. // Опт. и спектр. 2008. Т. 104. № 4. С. 665–672.
- [6] Бойко Б.Б., Петров Н.С. Отражение света от усиливающих и нелинейных сред. Минск: Наука и техника, 1988. 205 с.
- [7] Борн М., Вольф Э. Основы оптики. М.: Наука, 1970. 856 с.
- [8] Бреховских Л.М. Волны в слоистых средах. М.: Наука, 1973. 343 с.
- [9] Физические величины. Справочник. А.П. Бабичев, Н.А. Бабушкин и др. / Под ред. И.С. Григорьева, Е.З. Мелихова. М.: Энергоатомиздат, 1991. 1232 с.
- [10] Ярив А., Юх П. Оптические волны в кристаллах. Пер. с англ. / Под ред. И.Н. Сисакяна. М.: Мир, 1987. 410 с.